

بررسی رفتار خمشی تیر مسلح طره ساخته شده با بتن الیافی توانمند HPFRCC و چیدمان متفاوت خاموت گذاری*

«یادداشت پژوهشی»

علیرضا تقی خانی^(۱)

محمد کاظم شربتدار^(۲)

چکیده این مقاله به بررسی آزمایشگاهی رفتار شش تیر بتن مسلح طره ای ساخته شده با بتن HPFRCC با دو نوع درصد الیاف و دو نوع خاموت گذاری (فشرده و غیرفشرده) در ناحیه ویژه تحت بارگذاری استاتیکی می پردازد. نتایج نشان می دهد که حضور الیاف به خصوص در نمونه ها با خاموت غیرفشرده باعث افزایش جذب انرژی و تأخیر در ایجاد گسیختگی در نمونه های با بتن HPFRCC نسبت به بتن معمولی می شود و شکل پذیری تیرهای HPFRCC نسبت به تیر مرجع ۲ تا ۲/۳۳ برابر و باربری آن بین ۲ تا ۱۷/۵ درصد در نمونه های مختلف افزایش می یابد.

واژه های کلیدی تیر طره، الیاف، خاموت گذاری، شکل پذیری، کامپوزیت های سیمانی مسلح الیافی توانمند (HPFRCC).

Flexural Behavior Investigation of HPFRCC Cantilever RC Beam with Different Stirrup Configuration

A. Taghikhani

M. K. Sharbatdar

Abstract Experimental investigation of six RC cantilever beam made with High Performance Fiber Reinforced Cementitious Composite (HPFRCC) with two different fiber percentage and two different stirrup configuration (compact and non-compact) under monotonic loading is conducted in this paper. The results showed that the fiber role was more effective in specimens reinforced without compacted stirrups and energy absorption increasing, the rupture creation delay, and crack width and distribution decreasing have been observed. The ductility and load capacity of the HPFRCC specimens were 200 to 233 and 2 to 17.5% more than those of the Reference beams.

Key Words Cantilever beam; Fiber; Stirrups; Ductility; High Performance Fiber Reinforced Cementitious Composites; HPFRCC.

* تاریخ دریافت مقاله ۹۵/۱/۱۴ و تاریخ پذیرش آن ۹۷/۶/۲۴ می باشد.

(۱) کارشناس ارشد سازه، دانشگاه سمنان.

(۲) نویسنده مسئول: دانشیار، دانشکده مهندسی عمران، دانشگاه سمنان.

مقدمه

۱۹۸۹ کرنچل و اسانگ کاربرد مناسب الیاف به هم پیوسته به شکل پذیری کششی ۱۰۰ برابر نسبت به بتن معمولی دست یافتند [9]. در سال ۱۹۹۹ کوریاج و جسی و در سال ۲۰۰۳ نیز نامان و رینهارت و همکاران نوع جدیدی از بتن الیافی با الیاف به هم پیوسته را تحت عنوان بتن مسلح بافته شده (TRC) ارائه نمودند [10]. [11]. وسعت ناحیه سخت شدگی کرنش در مصالح پایه سیمانی مسلح به الیاف، کمتر از فولاد می باشد و از این جهت مکانیزم سخت شدگی کرنش در این مصالح به صورت مجازی تشکیل می شود [۱۲]. مصالح CARDIFRC که در دانشگاه کاردیف ولز توسعه یافته است، یکی از انواع مختلف HPCFRCC است که توسط فرهنگ، نیکلایدیس، کانولپلوس و کاریهالو در سال ۲۰۰۶ ابداع گردید و مقاومت فشاری تا ۲۰۰ مگاپاسکال و مقاومت کششی ۲۷ مگاپاسکال مشاهده شد [13]. ریچارد و چیرزی و هابل و گائوورا با ترکیب دو مفهوم UHPC و FRC مصالح جدیدی تحت عنوان UHPCFRCC ارائه دادند که دارای مقاومت کششی، مقاومت فشاری و کرنش کششی نهایی به ترتیب بیش از ۱۰ مگاپاسکال، ۱۵۰ مگاپاسکال و ۰,۰۰۵ بود [14, 15]. محققان به این نتیجه رسیدند که با جایگزینی مصالح HPCFRCC به جای بتن معمولی در قاب بتن مسلح به شکل کامل یا تنها در چشمه اتصال، ظرفیت باربری و تغییر شکل نهایی این قاب افزایش می یابد [۱۶]. هم چنین در ادامه مطالعات خود دخصوص مفصل پلاستیک در تیر بتن مسلح دریافتند که با استفاده از مصالح HPCFRCC در تیر، طول مفصل پلاستیک و زاویه مفصل پلاستیک نسبت به تیر معمولی افزایش یافته است [17]. کاربردهای ویژه کامپوزیت های سیمانی مسلح الیافی توانمند شامل عرشه پل ها و سازه های ویژه مثل سکوها ی ساحلی، ایستگاه های هوایی، سازه های بسیار بلند، اتصالات تیر- ستون، سازه های مقاوم در برابر انفجار، سازه های مربوط به بانک ها و اعضای سازه ای میراگر میان قابی و سازه های مهم دیگر می باشد [18].

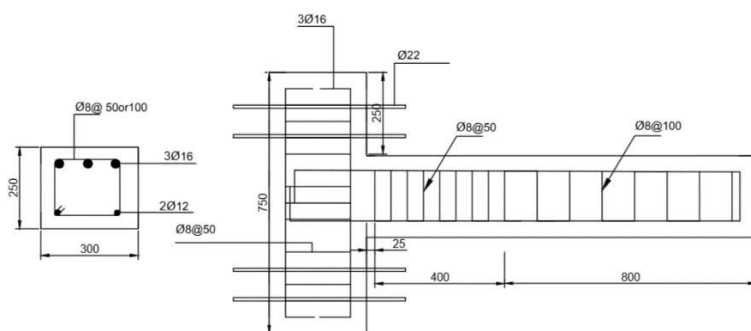
کامپوزیت های سیمانی مسلح الیافی (FRCC) در سال های اخیر شاهد پیشرفت های چشم گیر و زیادی بوده اند. عمده این پیشرفت ها به سبب توسعه هرچه بیشتر ملات، گونه های مختلف الیاف، اندرکنش ملات فرایند تولید کامپوزیت و بهبود مستمر میزان هزینه های اجرایی می باشد. علاوه بر آن می توان به مواردی مانند معرفی نسل جدید مواد افزودنی فوق روان کننده ها، کاربرد ریزپرکننده ها مثل دوده سیلیسی و خاکستر بادی و فهم بهتر از چگونگی تأثیر آنها بر تخلخل، مقاومت و دوام ملات اشاره نمود. این موارد همگی باعث پیشرفت های اساسی در ساخت و مدل سازی رفتار این کامپوزیت ها شده اند. استفاده از کامپوزیت های سیمانی مسلح الیافی توانمند (HPCFRCC) به جای مصالح متداول از مدت ها پیش مدنظر پژوهشگران قرار گرفته و مطالعات بسیاری را به خود اختصاص داده است. این مصالح علاوه بر افزایش ظرفیت سازه ها در برابر زلزله به تأمین پایداری بیشتر سازه ها در برابر عوامل مضر محیطی نیز کمک می کنند [۱]. هم چنین استفاده از بتن های با مصالح شکل پذیر باعث افزایش مقاومت برشی، افزایش شکل پذیری سازه، اتلاف انرژی و رفتار آسیب مدار اعضای سازه ای تحت اثر بارهای رفت و برگشتی و کاهش یا حذف آرماتورهای برشی در نواحی بحرانی سازه در برش می باشد [2]. در مخلوط هایی که با الیاف اصلاح می شوند، مقاومت کششی، مقاومت خمشی، انعطاف پذیری و کنترل ترک بهبود می یابد [3]. در دهه ۱۹۶۰، رامولدی و همکاران بررسی تأثیر الیاف فولادی بر کاهش شکنندگی بتن را در دستور کار قرار دادند [4,5]. گسترش دانش درخصوص چگونگی تأثیر الیاف بر ملات، منجر به تدوین توصیه هایی درمورد طراحی سازه ای توسط مؤسسه RILEM گردید [6, 7]. در اوایل دهه ۱۹۸۰، تولید یک مصالح بتن الیافی با رفتار کششی شکل پذیر مورد توجه قرار گرفت که شروع آن توسط اوستون و همکاران در سال ۱۹۷۱ بود [8]. در سال

دو نوع خاموت‌گذاری متفاوت و دو نمونه دیگر با HPFRCC و یک درصد الیاف و دو نوع خاموت‌گذاری متفاوت ساخته شدند. در کلیه نمونه‌های تحت آزمایش، عرض مقطع ۲۵۰ و ارتفاع آن ۳۰۰ میلی‌متر بود که با سه آرماتور فوقانی به قطر ۱۶ میلی‌متر و دو آرماتور تحتانی به قطر ۱۲ میلی‌متر مسلح شد. مقطع ستونک که به‌عنوان تکیه‌گاه گیردار فرض شده است به عرض ۳۰۰ و ارتفاع ۳۰۰ میلی‌متر با شش میلگرد به قطر ۱۶ و خاموت به قطر ۱۰ به فاصله ۵ سانتی‌متر مسلح شد و ضخامت پوشش آنها نیز حدود ۵۰ میلی‌متر انتخاب گردید. طول تیرها ۱۲۰۰ میلی‌متر و اتصال به‌صورت گیردار بود. ابعاد و جزئیات تیر با خاموت فشرده و بدون خاموت فشرده در شکل (۱) و شکل (۲) نشان داده شده است. دو کرنش‌سنج بر روی آرماتورهای فوقانی در بر تکیه‌گاه نصب گردیدند. در جدول (۱) نام‌گذاری و مشخصات نمونه‌ها آمده است.

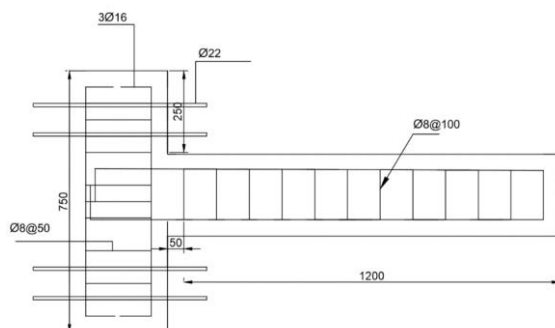
[19]. می‌توان این گفته پارا مونتسینوس را ذکر نمود که الیاف باعث افزایش تحمل خسارت یک سازه می‌گردند [20]. استفاده از این سیستم برای مقابله با طبقات نرم به‌کار می‌رود و می‌تواند تغییرشکل‌های مورد انتظار را برآورده سازد. نتایج آزمایش‌های انجام‌شده نشان می‌دهد که استفاده از ستون‌های ساخته‌شده از HPFRCC و قرار دادن آنها در کنار ستون‌های طبقه نرم باعث بهبود رفتار لرزه‌ای سازه در هنگام زلزله می‌شود [21].

برنامه آزمایشگاهی جزئیات نمونه‌ها

شش نمونه تیر خمشی طره‌ای با ابعاد مشابه و با دو نوع جزئیات آرماتورگذاری خاموت‌ها ساخته شدند. دو نمونه اول با بتن معمولی و به‌عنوان نمونه‌های مرجع، دو نمونه بعدی با بتن HPFRCC با نیم درصد الیاف و



شکل ۱ جزئیات آرماتورگذاری و مقطع نمونه‌های با خاموت‌گذاری فشرده



شکل ۲ جزئیات آرماتورگذاری نمونه بدون خاموت فشرده

جدول ۱ نحوه نام گذاری نمونه ها

نام نمونه	شرح نمونه
RCS	نمونه بتن معمولی با خاموت گذاری ویژه
RCN	نمونه بتن معمولی بدون خاموت گذاری ویژه
RHS0.5	نمونه HPFRCC با خاموت گذاری ویژه و نیم درصد الیاف
RHN0.5	نمونه HPFRCC بدون خاموت گذاری ویژه و نیم درصد الیاف
RHS1	نمونه HPFRCC با خاموت گذاری ویژه و یک درصد الیاف
RHN1	نمونه HPFRCC بدون خاموت گذاری ویژه و یک درصد الیاف

شده است.

خصوصیات مصالح

شن مورد استفاده در این آزمایش دارای درصد شکستگی معادل ۴۷ درصد است و در محدوده الک ۰/۵ اینچ (۱۲/۵ میلی متر) تا الک نمرة ۴ (۴/۷۵ میلی متر) قرار دارد. ماسه مورد استفاده در این آزمایش نیز در محدوده زیر الک نمرة ۴ (۴/۷۵ میلی متر) قرار دارد. منحنی دانه بندی شن و ماسه مورد استفاده در شکل (۳) نشان داده شده است.

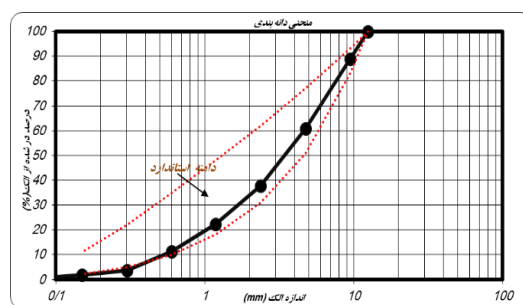


شکل ۴ الیاف ماکروسنتتیک استفاده شده

در هنگام اضافه کردن الیاف به بتن برخی ملاحظات برای پخش یکنواخت الیاف و جلوگیری از جدایش یا پدیده گلوله شدن و ایجاد یک مخلوط کارا برای ریختن، تراکم و پرداخت بتن باید مدنظر قرار گیرد.

طرح اختلاط بتن معمولی و بتن HPFRCC استفاده شده در آزمایش در جدول (۳) ملاحظه می شود. لازم به ذکر است که مقاومت ۴۲ روزه نمونه استوانه ای بتن معمولی برابر ۳۱ مگاپاسکال و برای بتن HPFRCC برابر ۳۰ مگاپاسکال به دست آمده است.

در این آزمایش از ۳ نوع میلگرد فولادی اصلی استفاده شده است که مشخصات قرارگیری و نتایج تست کشش در جدول (۴) نشان داده شده است.



شکل ۳ منحنی دانه بندی سنگدانه های مورد استفاده

در این کار آزمایشگاهی از سیمان پرتلند تیپ II تولید شده توسط کارخانه سیمان شاهرود استفاده شد. الیاف مورد استفاده ماکروسنتتیک (پروپیلن مخصوص تقویت شده) با نام تجاری PPS می باشد. این الیاف همانطور که در شکل ۴ قابل مشاهده است، دارای ابعادی مشابه الیاف فولادی می باشند. این الیاف بر خلاف الیاف PP دارای ساختاری رشته ای می باشند. در جدول (۲) خصوصیات مکانیکی الیاف PPS نشان داده

جدول ۲ مشخصات الیاف مصرف شده

چگالی (kg/dm^3)	مدول الاستیسیته (MPa)	مقاومت کششی (MPa)	رنگ	قطر (μm)	طول (mm)
۰/۹	۳۵۰۰	۸۰۰	تیره	۱۸	۷۰-۴۰

جدول ۳ طرح اختلاط بتن معمولی و کامپوزیت سیمانی

جمع کل (kg)	الیاف درصد حجمی	فوق‌روان‌کننده (kg)	سیمان (kg)	شن (kg)	ماسه (kg)	آب (kg)	w/c	نوع بتن
۲۳۸۲	-	-	۴۰۰	۸۰۲	۹۸۰	۲۰۰	۰/۵	بتن معمولی
۲۲۹۰	۰/۵	۴	۵۰۰	-	۱۵۵۷	۲۲۵	۰/۴۵	بتن توانمند
۲۲۹۴	۱	۴	۵۰۰	-	۱۵۵۷	۲۲۵	۰/۴۵	بتن توانمند

جدول ۴ مشخصات میلگردهای مصرفی

کرنش جاری شدگی	تنش نهایی (MPa)	تنش جاری شدن (MPa)	نمره میلگرد	توضیحات
۰/۰۰۲۳	۶۷۵/۲	۴۲۶/۳	۱۰	آرماتور برشی عرضی
۰/۰۰۱۹	۵۹۱	۴۲۴	۱۲	آرماتور قطری طولی
۰/۰۰۱۸۵	۵۸۲	۳۹۸	۱۶	آرماتور قطری طولی



شکل ۵ نمای کلی از سیستم چیدمان آزمایش

اندازه‌گیری‌ها در حین آزمایش‌ها نشان می‌دهد که هیچ چرخشی اتفاق نیفتاده‌است که نشان‌دهنده صلبیت تکیه‌گاه باشد.

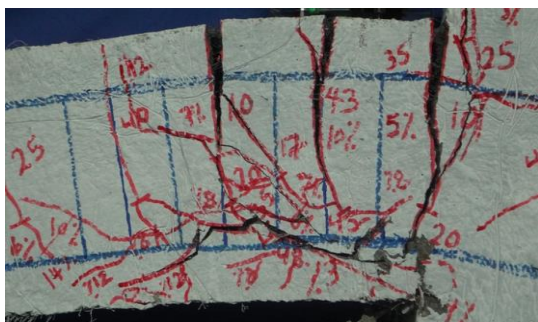
مشاهدات و رفتار کلی نمونه‌ها

نمونه RCS نمونه مرجع استاندارد می‌باشد که از بتن معمولی ساخته شده‌است و دارای خاموت‌گذاری فشرده به طول $2d$ از بر تکیه‌گاه می‌باشد. در شکل (۶)

چیدمان آزمایش

نمای شماتیک و واقعی چیدمان آزمایش در شکل (۵) نشان داده شده‌است. باتوجه به شابلون کردن سوراخ‌های قاب صلب و کار گذاشتن لوله‌هایی به قطر ۱ اینچ در بتن، نمونه با ۸ میلگرد $\varnothing 22$ دو سر رزوه‌شده بر روی قاب صلب قرار می‌گیرد. دو عدد LVDT در بالا و پایین تیر در محل اتصال گیردار قرار داده شده‌است تا جابه‌جایی احتمالی و چرخش اتصال کنترل گردد.

۴۲/۵ کیلونیوتن ترک‌های قطری نزدیک اتصال باز می‌شوند. الگوی انهدام نمونه RHS0.5 این تیر در شکل (۸) نشان داده شده است.



شکل ۸ نحوه انهدام تیر RHS0.5 در انتهای بارگذاری

نمونه RHN0.5 ساخته شده با کامپوزیت سیمانی و نیم درصد الیاف می‌باشد که بدون خاموت-گذاری فشرده است. اولین ترک خوردگی تحت نیروی ۱۰ کیلونیوتن در بر تکیه‌گاه رخ می‌دهد. در نیروی ۴۴/۵ کیلونیوتن و تغییرمکان حدود ۶۰/۳۶ میلی‌متر، ترک‌های برشی در فاصله ۱۵ سانتی‌متری از بر تکیه‌گاه و با زاویه ۴۵ درجه از بالا به پایین در شکل (۱۰) ظاهر می‌گردد. پل زدن الیاف در این نمونه به‌وضوح نمایان شده است که در شکل (۹) نشان داده شده است.

نمونه RHS1 ساخته شده با کامپوزیت سیمانی و یک درصد الیاف می‌باشد که بدون خاموت-گذاری فشرده است. اولین ترک خوردگی تحت نیروی حدود ۸ کیلونیوتن و تغییرشکل حدود ۱/۲۵ میلی‌متر در انتهای دهانه اتفاق می‌افتد. در دریافت ۷ درصد و بار ۴۷/۸ کیلونیوتن و تغییرمکان ۸۴ میلی‌متر ترک قطری به فاصله ۲۰ سانتی‌متر از تکیه‌گاه رخ می‌دهد. در دریافت ۱۲ درصد و بار ۴۸ کیلونیوتن و تغییرمکان ۱۵۲ میلی‌متر ترک‌های قطری به فاصله ۲۰ سانتی‌متر از بر تکیه‌گاه بیشتر می‌شود و عرض ترک‌های قطری زیاد می‌شود. الگوی انهدام نمونه RHS1 این تیر در شکل (۱۱) نشان داده شده است.

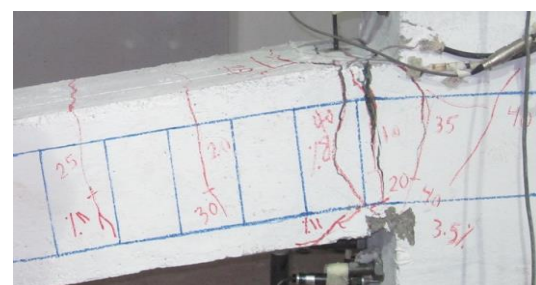
نمونه RHN1 ساخته شده با کامپوزیت سیمانی و یک درصد الیاف می‌باشد که بدون خاموت-

نمونه RCS در انتهای بارگذاری (تخریب) نشان داده شده است. اولین ترک خوردگی در نیروی ۹/۵ کیلونیوتن رخ می‌دهد. در نیروی ۴۳ کیلونیوتن و تغییرمکان ۳۶/۱۳ میلی‌متر ترک‌های برشی در مجاورت تکیه‌گاه ظاهر می‌گردد. این ترک‌ها با افزایش نیرو گسترش می‌یابند و به سمت بخش فشاری تیر حرکت می‌کنند.



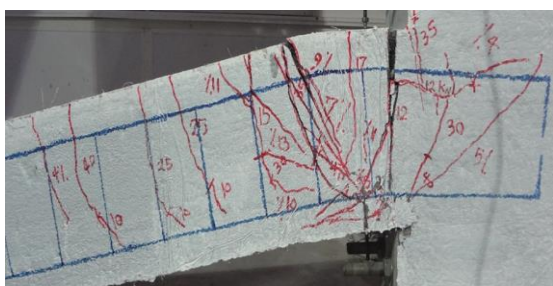
شکل ۶ نحوه انهدام تیر RCS در انتهای بارگذاری

در نمونه RCN نمونه مرجع که از بتن معمولی ساخته شده است و بدون خاموت‌گذاری فشرده می‌باشد، اولین ترک خوردگی در بار ۱۰ کیلونیوتن رخ می‌دهد. در شکل (۷) نمونه RCN در انتهای بارگذاری نشان داده شده است.



شکل ۷ نحوه انهدام تیر RCN در انتهای بارگذاری

نمونه RHS0.5 ساخته شده با کامپوزیت سیمانی و نیم درصد الیاف می‌باشد که دارای خاموت-گذاری فشرده است. اولین نیروی ترک خوردگی در این تیر در بار ۱۰ کیلونیوتن می‌باشد. در دریافت ۶ درصد و بار ۴۸ کیلونیوتن ترک مورب به فاصله ۱۵ سانتی‌متر از بر تکیه‌گاه رخ می‌دهد. در دریافت ۱۲ درصد و بار



شکل ۱۲ نحوه انهدام تیر RHN1 در انتهای بارگذاری

گذاری فشرده است. اولین ترک خوردگی تحت نیروی حدود ۱۲ کیلونیوتن و تغییرشکل حدود ۳/۹۵ میلی‌متر در انتهای دهانه اتفاق می‌افتد. در دریافت ۴ درصد و نیروی ۴۶/۶۳ کیلونیوتن و تغییرمکان حدود ۴۸/۷ میلی‌متر، ترک‌های برشی در فاصله ۱۵ سانتی‌متری تکیه‌گاه‌ها و با زاویه ۴۵ درجه ظاهر می‌گردند. الگوی انهدام نمونه RHN1 این تیر در شکل (۱۲) نشان داده شده‌است.

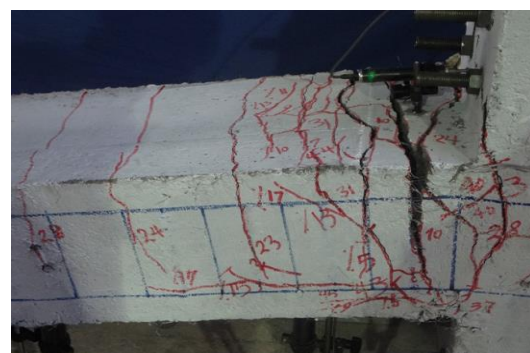
نتایج و بحث

در جدول (۵) مقاومت نهایی P_u (متناظر با ماکزیمم تغییرمکان در هنگام شکست) و شکل‌پذیری (نسبت تغییرمکان نهایی به تغییرمکان جاری شدن) هر شش نمونه آزمایشگاهی و درصد افزایش P_u و شکل‌پذیری نمونه‌های حاوی بتن HPCFRCC نسبت به نمونه بتن معمولی مرجع آمده‌است. شکل‌پذیری نمونه برابر معمولی مرجع است. $\Delta_u = \frac{\Delta_u}{\Delta_y}$ که جابه‌جایی نهایی تیر و در صورت وجود افت نیرو برابر جابه‌جایی نظیر بار $0.85P_{max}$ می‌باشد و Δ_y نیز جابه‌جایی نظیر بار جاری شدگی P_y و آرماتورهای طولی بر تیر اتصال می‌باشد. میزان جذب انرژی نمونه‌ها در جدول (۶) آمده‌است. منحنی‌های پوش هر یک از نمونه‌ها نیز در شکل (۱۳) نشان داده شده‌اند.

باتوجه به جدول (۵) شکل‌پذیری تیر RHN0.5 نسبت به تیر RCN حدود ۷۷ درصد بیشتر شده‌است. در تیر RHN1 افزایش شکل‌پذیری نسبت به تیر مرجع ۲۵ درصد می‌باشد. تیر RHS0.5 نسبت به RCS دارای ۹۷ درصد شکل‌پذیری بیشتر است. تیر RHS0.5 نیز ۴ درصد شکل‌پذیرتر از تیر RHN0.5 می‌باشد. میزان شکل‌پذیری تیر RHS1، ۲۲ درصد بیشتر از تیر RHN1 می‌باشد. شکل‌پذیری تیر RHS0.5 نیز ۵۵ درصد بیشتر از تیر RHN1 می‌باشد. میزان شکل‌پذیری در تیرها با نیم درصد الیاف بیشتر از حالت‌های دیگر است. این اتفاق به دلیل عدم افت بار در نمونه‌های بتن توانمند تا دریافت



شکل ۹ پل زدن الیاف در تیر RHN0.5



شکل ۱۰ نحوه انهدام تیر RHN0.5 در انتهای بارگذاری



شکل ۱۱ نحوه انهدام تیر RHS1 در انتهای بارگذاری

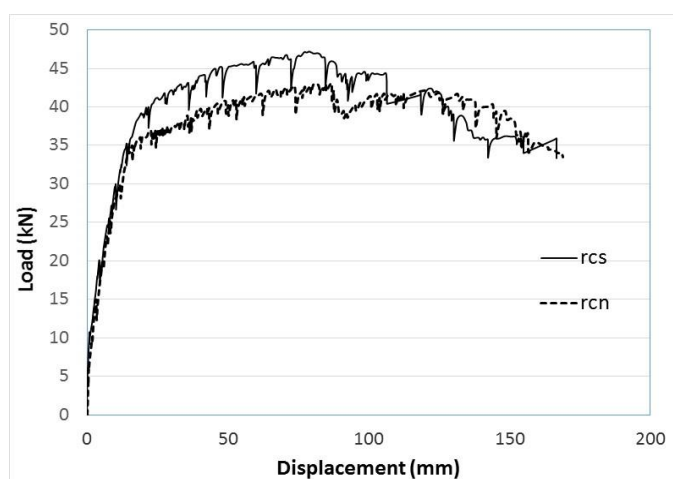
۲۳ درصد می باشد، باتوجه به محدودیت استروک جک صورت امکان ادامه آزمایش افزایش میزان شکل پذیری اعمال بار، آزمایش در دریفت پایان یافته است. در جذب انرژی بدیهی می باشد.

جدول ۵ مقایسه کلی نتایج نمونه ها

نام تیر	P_{cr} (kN)	P_y (kN)	P_{max} (kN)	$\frac{P_{max}}{P_{maxRCS}}$	Δ_y (mm)	Δ_u (mm)	$\mu = \frac{\Delta_u}{\Delta_y}$	$\frac{\mu_n}{\mu_{RCS}}$
RCS	۹/۵	۳۵	۴۷	۱	۱۶	۱۲۸	۷/۸۵	۱
RCN	۱۰	۳۴	۴۳	۰/۹۱	۱۸	۱۵۲	۸/۴	۱/۰۷
RHS0.5	۱۰	۴۰	۴۸	۱/۰۲	۱۷/۷	۲۷۵	۱۵/۵	۱/۹۷
RHN0.5	۱۰	۳۷	۴۵	۰/۹۷	۱۷/۴۵	۲۷۰	۱۵/۴۷	۱/۹۷
RHS1	۸	۴۱	۵۰	۱/۰۶	۲۲	۲۶۸	۱۲/۲	۱/۵۵
RHN1	۱۲	۴۲	۵۰/۶	۱/۰۷	۲۵/۸	۲۷۰	۱۰/۵	۱/۳۳

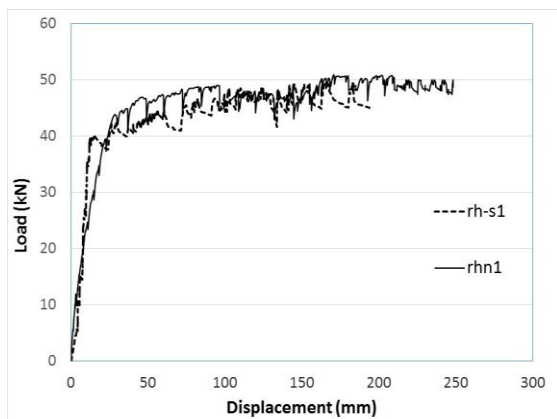
جدول ۶ میزان جذب انرژی نمونه ها

نام تیر	(سطح زیر منحنی بار- تغییر مکان تا Δ_U) Kn-mm	$\frac{W}{W(RCS)}$
RCS	۵۸۱۸/۶	۱
RCN	۵۹۸۱/۱	۱/۰۲
RHS0.5	۱۲۶۵۳	۲/۱۷
RHN0.5	۱۲۱۸۳	۲/۰۹
RHS1	۱۳۵۷۷	۲/۳۳
RHN1	۱۳۵۸۵/۶	۲/۳۳



شکل ۱۳ منحنی بار- تغییر مکان تیرهای مرجع استاندارد و غیراستاندارد

درصد از تیر RHN0.5 بیشتر می‌باشد. در این نمونه‌ها تا دریافت ۲۳ درصد تست ادامه پیدا کرد اما افت بار در نمونه‌ها مشاهده نشد.

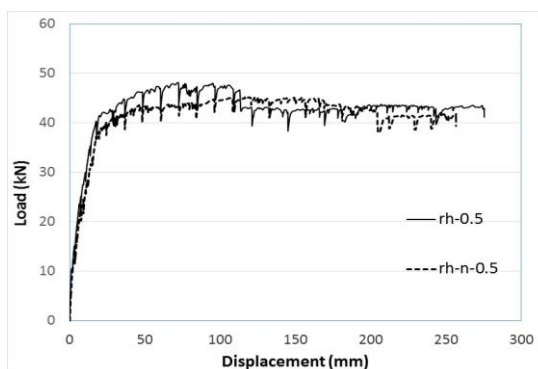


شکل ۱۵ منحنی بار- تغییر مکان بتن توانمند با یک درصد الیاف

باتوجه به شکل (۱۵) حداکثر بار در هر دو تیر تقریباً برابر شده‌است، منحنی‌ها بسیار به هم نزدیک شده‌اند و در قسمت زیادی یک روند را طی می‌کنند که در منحنی بار- تغییر مکان مشهود می‌باشد. حداکثر بار تیر RHS1 برابر ۵۰ کیلونیوتن می‌باشد که این حداکثر بار در تیر RHN1، برابر ۵۰/۶ کیلونیوتن است که نشانگر ۱ درصد اختلاف در حداکثر بار تحمل شده است. میزان شکل‌پذیری در تیر RHS1 به میزان ۲۲ درصد بیشتر از تیر RHN1 می‌باشد. میزان جذب انرژی در هر دو تیر برابر می‌باشد. در این نمونه‌ها تا دریافت ۲۲ درصد تست ادامه پیدا کرد اما افت بار در نمونه‌ها مشاهده نشد. باتوجه به منحنی بار- تغییر مکان می‌توان خاموت‌گذاری فشرده را در تیر حذف کرد. میزان افزایش حداکثر بار در تیرها بدون خاموت‌گذاری فشرده بیشتر می‌باشد. میزان افزایش حداکثر بار در تیر بدون خاموت‌گذاری فشرده با نیم درصد و یک درصد الیاف نسبت به نمونه مرجع مطابق شکل (۱۶) به ترتیب برابر ۱۲/۵ و ۱۷/۵ درصد می‌باشد. میزان طاقت تیرهای RHS1 و RHN1 نسبت به تیر مرجع به ترتیب ۱/۷۲ و ۱/۵۱ افزایش یافته‌است.

باتوجه به جدول (۶) میزان جذب انرژی در نمونه‌های بتن توانمند بیشتر از نمونه‌های مرجع می‌باشد که این میزان در نمونه بتن توانمند با یک درصد الیاف تا ۲/۳۳ برابر نمونه مرجع رسیده‌است.

بررسی بین تیر RCS و تیر RCN در شکل (۱۳) نشان می‌دهد که تیر با خاموت‌گذاری ویژه دارای حداکثر بار بیشتر نسبت به تیر بدون خاموت‌گذاری ویژه می‌باشد. حداکثر بار تیر RCS برابر ۴۷ کیلونیوتن می‌باشد که این حداکثر بار در تیر RCN، برابر ۴۳ کیلونیوتن است که نشانگر ۹ درصد افزایش در حداکثر بار تحمل شده است. میزان شکل‌پذیری در تیر RCN به میزان ۷ درصد بیشتر از تیر RCS می‌باشد. این موضوع به دلیل افت ناگهانی بار در تیر RCS قابل توجیح است، به دلیل این که بسیاری از پارامترهای فوق تا میزان ۸۵ درصد بار حداکثر محاسبه می‌شوند.



شکل ۱۴ منحنی بار- تغییر مکان بتن توانمند با نیم درصد الیاف

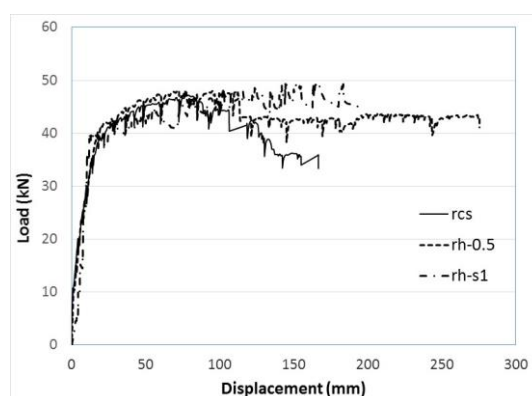
بررسی بین تیر RHS0.5 و تیر RHN0.5 در شکل (۱۴) نشان می‌دهد که تیر با خاموت‌گذاری ویژه دارای حداکثر بار بیشتر نسبت به تیر بدون خاموت‌گذاری ویژه می‌باشد. حداکثر بار تیر RHS0.5 برابر ۴۸ کیلونیوتن می‌باشد که این حداکثر بار در تیر RHN0.5، برابر ۴۵ کیلونیوتن است که نشانگر ۶/۵ درصد اختلاف در حداکثر بار تحمل شده است. میزان شکل‌پذیری در تیر RHS0.5 به میزان ۴ درصد بیشتر از تیر RHN0.5 می‌باشد. میزان جذب انرژی در تیر RHS0.5 بیش از ۴

در بتن توانمند بدون خاموت گذاری فشرده حداکثر نیروی تحمل شده به میزان $4/5$ و $17/5$ درصد به ازای نیم و یک درصد الیاف نسبت به نمونه بتن معمولی افزایش می یابد. الیاف در تیرها بدون خاموت فشرده اثر بیشتری بر روی افزایش حداکثر نیروی تحمل شده داشته است. هم چنین شکل پذیری و جذب انرژی را افزایش می دهد. نیروی جاری شدن آرماتورها به ترتیب $8/8$ و $23/5$ درصد افزایش یافته است. میزان جذب انرژی در تیر RHS1 نسبت به تیر مرجع بیشتر است. هم چنین در تیرهای HPRFRC افت بار مشاهده نشده است.

نتیجه گیری

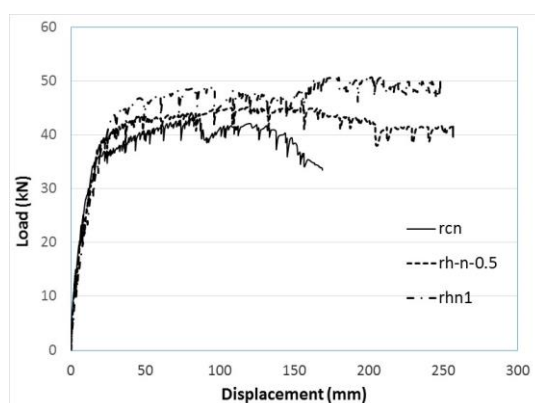
به منظور بررسی تأثیر بتن های کامپوزیتی سیمانی توانمند بر رفتار تیرهای بتن آرمه طره ای و امکان سنجی جایگزینی این بتن ها برای حذف خاموت های فشرده در ناحیه بحرانی، شش نمونه تیر طره ای شامل دو نمونه مرجع بتن معمولی با خاموت گذاری ویژه (RCS) و بدون خاموت گذاری ویژه (RCN) و چهار نمونه با بتن کامپوزیتی سیمانی توانمند HPRFRC (با نیم و یک درصد الیاف با خاموت گذاری ویژه به نام های RHS1 و RHS0.5 و بدون خاموت RHN1 و RHN0.5) تحت بار افزایشنده قرار گرفتند که مشاهدات رفتاری و نتایج به دست آمده از انجام آزمایش ها بر روی نمونه ها به صورت زیر ارائه می گردد:

۱. در تیرهای بتنی مرجع با و بدون خاموت فشرده، ترک ها با نرم شوندگی منحنی تنش- کرنش کششی همراه می شود و ظرفیت باربری سازه با افزایش ترک ها کاهش می یابد؛ لذا تکیه بر آرماتورها برای حفظ سازه ضروری است؛ اما در تیرهای با بتن کامپوزیتی توانمند میکروترک ها باعث ورود مصالح به مرحله سخت شوندگی می شود و ظرفیت باربری بالا می رود.



شکل ۱۶ منحنی بار- تغییر مکان تیر مرجع و بتن توانمند با خاموت گذاری ویژه

افزودن الیاف به تیرهای HPRFRC باعث افزایش حداکثر نیروی تحمل شده به میزان ۲ و ۶ درصد به ازای نیم و یک درصد الیاف می گردد. هم چنین شکل پذیری و جذب انرژی را افزایش می دهد. افزودن الیاف باعث نرم شدن نمودار می گردد. الیاف باعث افزایش نیروی جاری شدن آرماتور می شوند. در شکل (۱۷) نیروی جاری شدن آرماتورها به ترتیب ۱۴ و ۱۷ درصد نسبت به نمونه مرجع افزایش یافته است. تغییر مکان معادل ترک- خوردگی، جاری شدن و حداکثر بار افزایش می یابد. الیاف باعث انسجام بتن می گردند و از انهدام ناحیه فشاری بتن جلوگیری می کند.



شکل ۱۷ منحنی بار- تغییر مکان تیر مرجع و بتن توانمند بدون خاموت گذاری ویژه

به ترتیب به میزان ۶ و ۲ درصد افزایش یافته‌است. این میزان افزایش در تیرهای کامپوزیتی توانمند بدون خاموت فشرده با یک و نیم درصد الیاف به ترتیب برابر ۱۷/۵ و ۴/۵ درصد می‌باشد که نشانگر تأثیر بیشتر الیاف در نمونه‌های فاقد خاموت فشرده‌است.

۴. با توجه به الگوی ترک‌خوردگی در تیرها، در نمونه‌های بتن توانمند الگوی ترک‌خوردگی به ترک‌های ریز چندگانه تبدیل می‌شود. میزان ترک‌ها در تیرهای با خاموت فشرده بیشتر است.

۵. میزان جذب انرژی و شکل‌پذیری در تیرهای کامپوزیتی توانمند نسبت به بتن مرجع به ترتیب در حالت حداکثر، ۹۷ درصد و ۲/۳۳ برابر افزایش یافته‌است.

۲. خاموت فشرده باعث سختی بیشتر تیرها و افزایش جذب انرژی و شکل‌پذیری بالاتر می‌شود. بتن کامپوزیتی توانمند با یک درصد الیاف باعث انطباق تقریبی منحنی بار- تغییرمکان در حالت خاموت‌گذاری فشرده و غیرفشرده گردیده‌است. جذب انرژی و شکل‌پذیری و حداکثر بار تقریباً برابر شده‌است. در نتیجه می‌توان خاموت‌گذاری فشرده را در تیرهای کامپوزیتی توانمند با یک درصد الیاف حذف کرد.

۳. الیاف باعث افزایش حداکثر نیروی تحمل‌شده می‌شوند. حداکثر نیرو در تیرهای کامپوزیتی توانمند دارای خاموت فشرده با یک و نیم درصد الیاف نسبت به نمونه مرجع بتن معمولی با خاموت فشرده

مراجع

۱. همتی، علی، «بررسی رفتار خمشی تیرها و قاب‌های بتن مسلح کامپوزیتی الیافی توانمند»، پایان‌نامه دکتر، دانشگاه سمنان، (۱۳۹۲).
2. Parra-Montesions, G. J., "High-performance Fiber-reinforced Cement Composites: An Alternative for Seismic Design of Structures", *ACI Structural Journal*, Vol. 102, No. 5, Pp.668-675, (2005).
3. Hamman, D. J., "Fiber Cements and Fiber Concretes", John Wiley and Sons, New York, 213 pages, (1988).
4. Romualdi J. P. and Batson G. B., "Mechanics of Crack Arrest in Concrete", *Journal of engineering mechanics*, ASCE Proc, 89(EM3), Pp. 147-168, (1963).
5. Romualdi J. P. and Mandel J. A., "Tensile Strength of Concrete Affected by Uniformly Distributed and Closely Spaced Short Lengths of Wire Reinforcement", *Journal of ACI*, Pp. 657-670, (1964).
6. Bolander, J., "Spring Network Model of Fiber Reinforced Cement Composites", High performance fiber reinforced cement composites, HPRFCC 3, H. W. Reinhardt and A. E. Naaman, Pp. 341-350, (1999).
7. Vandewalle, L. et al., "RILEM TC 162-TDF: Test and Design Methods for Steel Fibre Reinforced Concrete", Sigma-epsilon-design method- Final Recommendation, *Materials and Structures* 36(262), Pp. 560-567, (2003).
8. Aveston, J. Cooper, G. A. and Kelly, A., "Single and Multiple Fracture, the Properties of Fiber Composites", *Conference proceedings of national physical laboratory*, IPC, science and technology press, Ltd. Pp. 14-24, (1971).
9. Krenchel, H. and Stang, H., "Stable Micro-cracking in Cementitious Materials", in brittle matrix

- composites 2. A. M. Brandt and J. H. Marshall, eds., Pp. 20-33, (1989).
10. Curbach, M. and Jesse, F., "High-performance Textile-reinforced Concrete", *Structural engineering international* 9(4, 1):289-291(3), (1999).
 11. Naaman, A. E. and Reinhardt, H. W., "Setting the Stage: Toward Performance-based Classification of FRC Composites", In high performance fiber reinforced cement composites (HPFRCC-4), Proc. of the 4th Int'l RILEM workshop, A. E. Naaman and H. W. Reinhardt, (2003).
 ۱۲. قدسی، فرشید، آذر، «بررسی خواص مصالح پایه سیمانی مسلح به الیاف فولادی مجعد با مقاومت کششی و شکل‌پذیری بالا»، نشریه دانشکده فنی دانشگاه تهران، (۱۳۸۷).
 13. Farhat, F. A., Nicolaidis, D., Kanellopoulos, A. and Karihaloo, B. L., "High Performance Fiber-reinforced Cementitious Composite (CARDIFRC)-performance", (2007).
 14. Richard, P. and Cheyrezy, M. H., "Composition of Reactive Powder Concretes", *cement and concrete research*, Vol. 25, No.7, Pp. 1501-1511, (1995).
 15. Habel, H., Gauvreau, P., "Response of UHPFRC to Impact and Static Loading", *cement and concrete composites*, Pp. 938-946, (2008).
 ۱۶. همتی، علی، خیرالدین، علی، شربتدار، محمدکاظم، بررسی عددی افزایش ظرفیت باربری قاب بتن مسلح با استفاده کامپوزیت‌های سیمانی مسلح الیافی توانمند، مجله علمی و پژوهشی شریف، دانشگاه شریف، (۱۳۹۲).
 17. Hemmati, A., kheyroddin, A., Sharbatdar, M. K., "Plastic Hinge Rotation Capacity of Reinforced HPFRCC Beam", *Journal of Structural engineering*, ASCE, (2013).
 18. Shi, C., Mo, Y. L., "High Performance Construction Materials, Science and Applications", (2008).
 19. Fukuyama, H. and Suwada, H., "Experimental Response of HPFRCC Dampers for Structural Control", *journal of advanced concrete technology*, Vol.1, No.3, Pp. 317-326, (2003).
 20. Parra-Montesinos, G., "Proposed Addition to ACI Code 318-05 on Shear Design Provisions for Fiber Reinforced Concrete Members", (2006).
 21. Hiroshi Fukuyama, "HPFRCC Device for Structural Control of Building with Soft Story", 6th RILEM symposium on fiber –reinforced concretes (FRC)-BEFIB2004, Varenna, Italy, Pp. 1163-1172, (2004).